

Fig.1 振動障害群における寒冷刺激によるSPP (測定値mmHg; 平均±標準偏差) p=0.0003

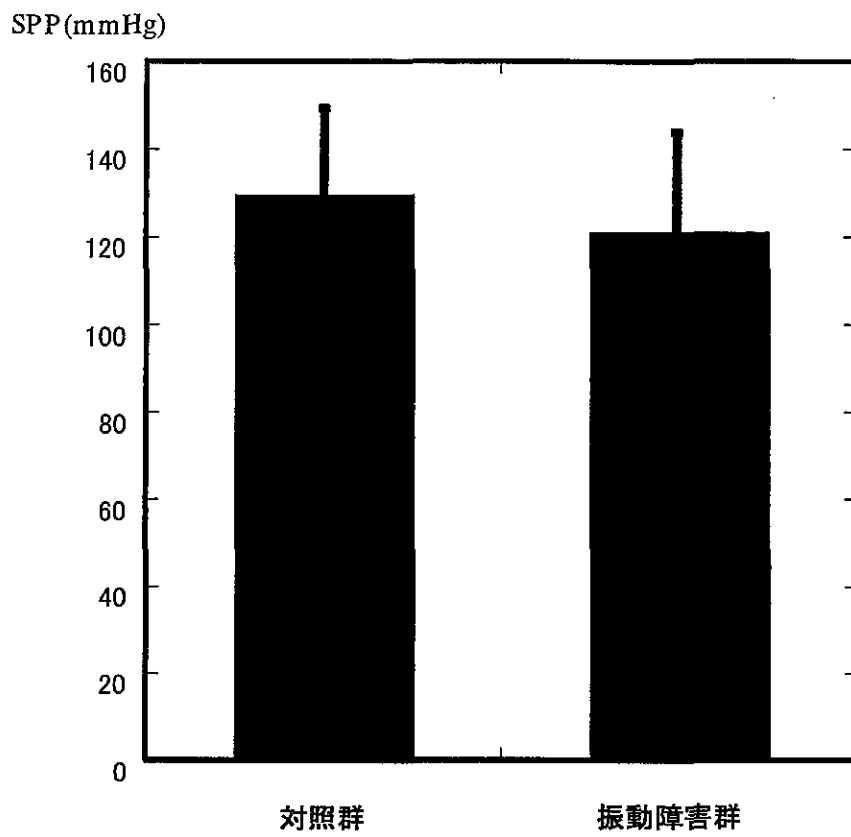


Fig.2 寒冷刺激後 SPP 比較 (測定値 mmHg; 平均±標準偏差)

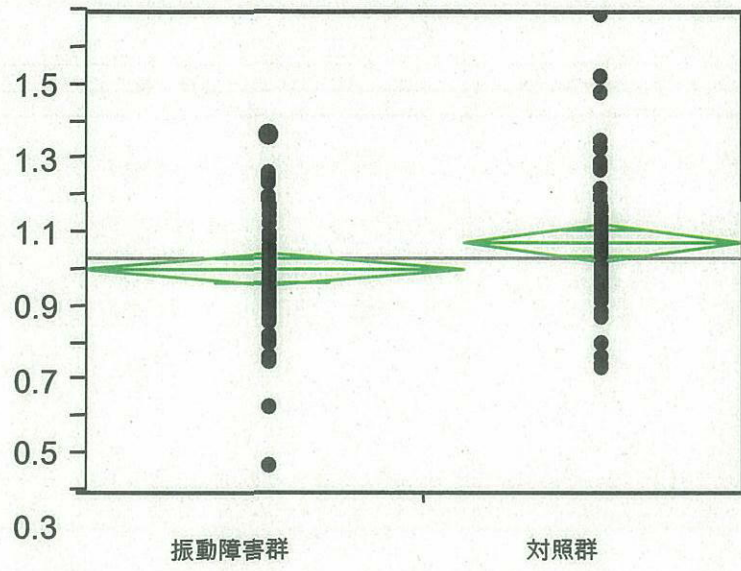


Fig.3 寒冷刺激後SPP/BP p=0.0321

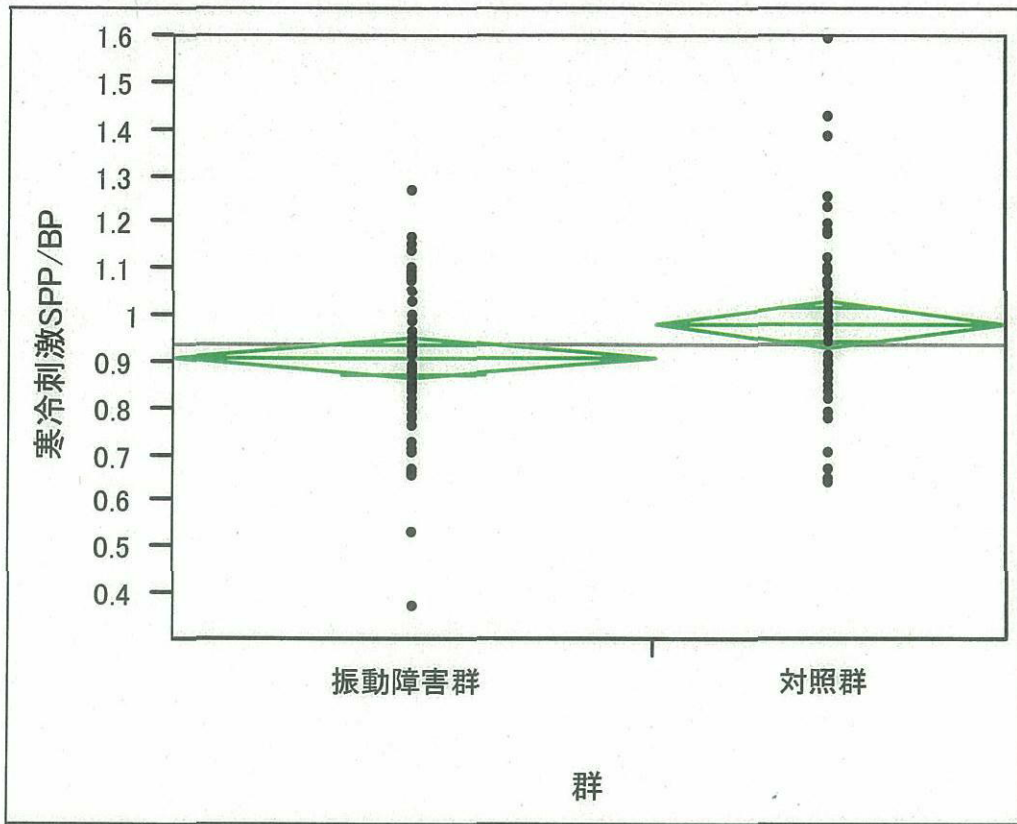


Fig.3 寒冷刺激後 SPP/BP  $p=0.0321$

レーザードップラー血流計による皮膚灌流圧測定

振動障害群

ID	右SPP寒冷刺激前	左SPP寒冷刺激前	右SPP寒冷刺激後	左SPP寒冷刺激後	右SPP負荷変化	左SPP負荷変化	右寒冷刺激後SPP/BF	左寒冷刺激後SPP/BP	右寒冷刺激後SPP/寒冷刺激前SPP	左寒冷刺激後SPP/寒冷刺激前SPP	症度
101	120	110	110	110	10	0	0.846153846	0.873015873	0.916666667	1	1
102	90	110	90	120	0	-10	0.671641791	0.967741935	1	1.090909091	0
104	130	100	140	120	-10	-20	0.886075949	0.779220779	1.076923077	1.2	0
105	150	160	150	150	0	10	1.086956522	1.153846154	1	0.9375	1
106	150	160	140	150	10	10	0.945945946	1.136363636	0.933333333	0.9375	1
107	120	140	140	160	-20	-20	1.166666667	1.26984127	1.166666667	1.142857143	0
108	110	120	120	130	-10	-10	0.8	0.928571429	1.090909091	1.083333333	0
109	110	110	130	120	-20	-10	0.928571429	0.857142857	1.181818182	1.090909091	0
110	150	130	130	130	20	0	0.984848485	1	0.866666667	1	2
112	160	130	130	140	30	-10	1.031746032	1.029411765	0.8125	1.076923077	3
113	120	140	110	130	10	10	0.916666667	1.083333333	0.916666667	0.928571429	1
114	110	110	100	100	10	10	0.892857143	0.877192982	0.909090909	0.909090909	1
115	160	130	110	100	50	30	0.785714286	0.714285714	0.6875	0.769230769	3
116	110	150	130	120	-20	30	0.928571429	0.857142857	1.181818182	0.8	3
117	130	120	120	120	10	0	0.952380952	1.090909091	0.923076923	1	1
118	100	140	100	110	0	30	0.704225352	0.808823529	1	0.785714286	3
119	110	100	90	110	20	-10	0.833333333	1.078431373	0.818181818	1.1	2
120	110	120	90	50	20	70	0.652173913	0.373134328	0.818181818	0.416666667	3
121	100	120	90	90	10	30	0.661764706	0.652173913	0.9	0.75	3
122	120	130	80	130	40	0	0.533333333	0.855263158	0.666666667	1	3
123	140	150	150	150	-10	0	1.02739726	1.071428571	1.071428571	1	0
124	140	160	130	140	10	20	0.890410959	1.076923077	0.928571429	0.875	2
125	100	110	90	100	10	10	0.725806452	0.833333333	0.9	0.909090909	1
126	140	140	140	140	0	0	0.833333333	0.886075949	1	1	0
127	150	130	150	120	0	10	1.153846154	0.967741935	1	0.923076923	1
128	130	140	100	110	30	30	0.78125	0.833333333	0.769230769	0.785714286	3
129	130	150	150	120	-20	30	0.925925926	0.759493671	1.153846154	0.8	3
130	130	120	110	120	20	0	0.797101449	0.869565217	0.846153846	1	2
B-1	150	140	130	130	20	10	1.083333333	1.048387097	0.866666667	0.928571429	2
B-2	150	160	130	160	20	0	0.844155844	1.081081081	0.866666667	1	2
B-3	110	140	100	120	10	20	0.819672131	1	0.909090909	0.857142857	2
B-4	120	130	100	120	20	10	0.862068966	0.952380952	0.833333333	0.923076923	2
C-6	170	150	140	170	30	-20	0.921052632	1.103896104	0.823529412	1.133333333	3

投薬群

ID	右SPP寒冷刺激前	左SPP寒冷刺激前	右SPP寒冷刺激後	左SPP寒冷刺激後	右SPP負荷変化	左SPP負荷変化	右寒冷刺激後SPP/BF	左寒冷刺激後SPP/BP	右寒冷刺激後SPP/寒冷刺激前SPP	左寒冷刺激後SPP/寒冷刺激前SPP	症度
1	180	200	170	150	10	50	1.03030303	0.815217391	0.944444444	0.75	3
3	130	140	200	160	-70	-20	1.449275362	0.935672515	1.538461538	1.142857143	0
5	160	140	140	150	20	-10	0.823529412	0.974025974	0.875	1.071428571	2
6	170	160	150	130	20	30	1.034482759	0.902777778	0.882352941	0.8125	3
7	160	150	160	170	0	-20	1.059602649	1.06918239	1	1.133333333	0
9	130	150	180	180	-50	-30	1.374045802	1.538461538	1.384615385	1.2	0
11	140	170	30	60	110	110	0.18404908	0.405405405	0.214285714	0.352941176	3
12	130	130	140	130	-10	0	0.891719745	0.872483221	1.076923077	1	0
103	150	150	140	160	10	-10	1.014492754	1.142857143	0.933333333	1.066666667	1
111	120	130	90	100	30	30	0.681818182	0.714285714	0.75	0.769230769	3

レーザードップラー血流計による皮膚灌流圧測定

対照群

ID	右SPP寒冷刺激前	左SPP寒冷刺激前	右SPP寒冷刺激後	左SPP寒冷刺激後	右SPP負荷変化	左SPP負荷変化	右寒冷刺激後SPP/BF	左寒冷刺激後SPP/BF	右寒冷刺激後SPP/寒冷刺激前SPP	左寒冷刺激後SPP/寒冷刺激前SPP
A-2	170	150	120	160	50	-10	0.895522388	1.194029851	0.705882353	1.066666667
1	160	160	110	120	50	40	0.833333333	0.895522388	0.6875	0.75
204	110	140	100	100	10	40	0.649350649	0.666666667	0.909090909	0.714285714
6	160	170	120	170	40	0	0.875912409	1.382113821	0.75	1
203	120	110	90	110	30	0	0.642857143	0.774647887	0.75	1
10	180	180	180	150	0	30	1.125	0.877192982	1	0.833333333
202	120	110	100	90	20	20	0.641025641	0.703125	0.833333333	0.818181818
209	150	130	130	130	20	0	0.984848485	0.942028986	0.866666667	1
210	120	130	130	110	-10	20	1.181818182	1	1.083333333	0.846153846
A-6	130	150	130	130	0	20	1.031746032	0.902777778	1	0.866666667
3	140	140	120	130	20	10	0.96	1.092436975	0.857142857	0.928571429
206	90	100	90	90	0	10	0.775862069	0.789473684	1	0.9
207	120	120	120	110	0	10	1.016949153	1	1	0.916666667
208	140	160	170	150	-30	10	0.988372093	0.862068966	1.214285714	0.9375
A-3	160	120	150	130	10	-10	1.041666667	0.866666667	0.9375	1.083333333
A-5	110	120	100	110	10	10	0.833333333	0.846153846	0.909090909	0.916666667
D-6	140	140	130	150	10	-10	0.915492958	0.974025974	0.928571429	1.071428571
5	110	120	130	110	-20	10	1.382978723	1.067961165	1.181818182	0.916666667
8	120	140	130	130	-10	10	1.101694915	1.015625	1.083333333	0.928571429
D-1	110	120	110	130	0	-10	0.846153846	0.970149254	1	1.083333333
201	150	130	170	140	-20	-10	0.944444444	0.823529412	1.133333333	1.076923077
A-4	150	150	160	160	-10	-10	1.230769231	1.25	1.066666667	1.066666667
2	130	160	180	170	-50	-10	1.592920354	1.428571429	1.384615385	1.0625
7	120	120	130	150	-10	-30	1.074380165	1.171875	1.083333333	1.25